

# J/ $\psi$ 在有限温度和有限密度的介质中的 轻子衰变<sup>\*</sup>

刘 波<sup>1)</sup> 沈彭年<sup>1)</sup> 姜焕清<sup>1)</sup>

(中国科学院高能物理研究所 北京 100039)

陈 洪

(西南师范大学物理系 重庆 400715)

**摘要** 用不同形式的夸克结合势研究 J/ $\psi$  的轻子衰变与色屏蔽质量的关系, 用屏蔽质量与介质温度和密度的关系, 得到 J/ $\psi$  在热密物质中的轻子衰变宽度.

**关键词** 轻子衰变 屏蔽质量 零点波函数 热场动力学

理论上预言, 在高温高密时可能发生相变形成 QGP, 相对论重离子碰撞有可能产生高温高密物质. 在相对论重离子碰撞中的 J/ $\psi$  压低作为 QGP 形成的信号之一已引起广泛的注意和极大兴趣. 因此, 研究 J/ $\psi$  在高温和高密的介质中的行为可能提供 QGP 形成方面的信息. 作者<sup>[1]</sup>用夸克势模型和热场动力学方法研究了 J/ $\psi$  在热密物质中的分解, 得到 J/ $\psi$  分解时需要的临界温度和临界密度. 本文研究 J/ $\psi$  在高温高密物质中的轻子衰变性质, 了解 J/ $\psi$  的轻子衰变宽度是否对介质的温度和密度敏感, 可为在相对论重离子碰撞中观察 J/ $\psi$  的轻子衰变提供 QGP 形成方面的信息.

在非相对论夸克势模型中, 粒子夸克偶素和 b 夸克偶素解释为 ( $c\bar{c}$ ) 和 ( $b\bar{b}$ ) 的束缚态. J/ $\psi$  是解释为 ( $c\bar{c}$ ) 的 1s 态. 为了研究 J/ $\psi$  在热密环境中的轻子衰变宽度, 本文用不同的夸克-反夸克结合位势探索 J/ $\psi$  的轻子衰变与夸克-反夸克结合位势形状的关系. 在有限温度和有限密度介质中的情况下, 作者<sup>[2]</sup>把夸克禁闭位为误差形式的夸克-反夸克势推广为(称为 erf 势):

$$V(r, \mu) = \frac{\sigma}{\mu} \operatorname{erf}(\mu r) - \frac{\alpha_{\text{eff}}}{r} e^{-(\mu - \mu_0)r} + V_0, \quad (1)$$

和用 KMS 势<sup>[3]</sup>:

1998-05-14收稿

\* 国家自然科学基金资助

1) 中国科学院理论物理所客座研究员

$$V(r, \mu) = \frac{\sigma}{\mu} (1 - e^{-\mu r}) - \frac{\alpha_{\text{eff}}}{r} e^{-\mu r}, \quad (2)$$

研究重味夸克共振态的退禁闭.

在(1)式和(2)式中的 $\mu$ 是屏蔽质量,假定是温度和密度的函数,对于erf位(1),在零温和零重子密度情况下, $\mu = \mu_0$ ,对于KMS位(2),在零温时, $\mu = 0$ .利用这两个势,我们研究了重味夸克共振态的结合,当 $\mu_0 = 0.1 \text{ GeV}$ 时,得到与实验符合较好的质量谱<sup>[2]</sup>.用热场动力学方法,引入重子密度计算胶子的单圈图,得到屏蔽质量与温度和密度的关系,并得到J/ $\psi$ 分解的热力学条件.在(1)和(2)式中,屏蔽质量 $\mu$ 是一个参变量,所以解薛定格方程时得到的本征波函数自然也是 $\mu$ 的函数,即 $\psi_{nl}(r, \mu) = \frac{u_l(r, \mu)}{r} Y_{lm}(\theta, \phi)$ .在计算中所用的参数是: $\alpha_{\text{eff}} = 4\alpha_s / 3$ ,  $\alpha_s = g^2 / 4\pi = 0.35325$ ,  $\sigma = 0.192 \text{ GeV}^2$ ,  $m_c = 1.32 \text{ GeV}$ .由erf势和KMS势给出的波函数分别在图1和图2中.从图1和图2看到,对于较大的 $\mu$ 值,波函数的峰值向大 $r$ 移动,而且随 $r$ 增大,变化缓慢.

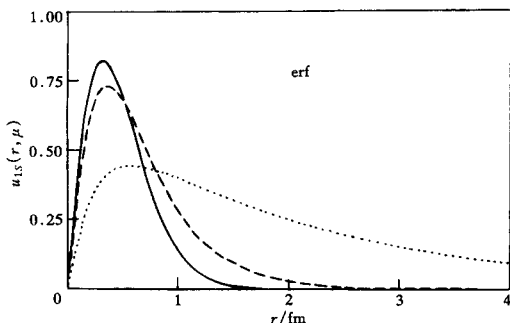


图1 erf势给出的( $\bar{c}\bar{c}$ )的1s态波函数 $u_{1s}(r, \mu)$

——  $\mu = 0.1 \text{ GeV}$ ;  
- - -  $\mu = 0.3 \text{ GeV}$ ;  
· · · · ·  $\mu = 0.5 \text{ GeV}$ .

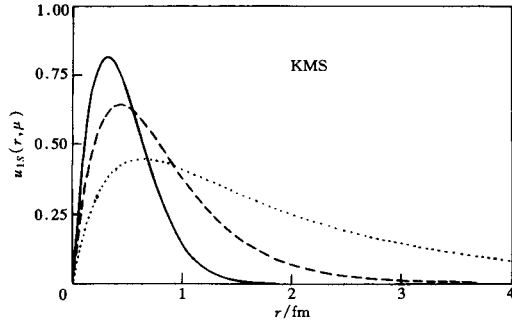


图2 KMS势给出的( $\bar{c}\bar{c}$ )的1s态波函数 $u_{1s}(r, \mu)$

——  $\mu = 0.0 \text{ GeV}$ ;  
- - -  $\mu = 0.3 \text{ GeV}$ ;  
· · · · ·  $\mu = 0.6 \text{ GeV}$ .

量子数为( $nl$ )的夸克束缚态的轻子衰变宽度是与零点波函数有关:

$$\Gamma((q\bar{q})_{nl} \rightarrow e^+ e^-)(\mu) = \frac{16\pi e_q^2 \alpha_e^2}{M_{nl}^2(\mu)} |\psi_{nl}(0, \mu)|^2 \quad (3)$$

这里 $e_q$ 是夸克电荷, $\alpha_e$ 是精细结构常数, $M_{nl}(\mu)$ 是具有量子数为( $nl$ )的态的质量: $M_{nl}(\mu) = 2m_q + E_{nl}(\mu)$ ,这里 $m_q$ 是夸克质量,解薛定格方程可得到能量本征值 $E_{nl}(\mu)$ 和波函数 $\psi_{nl}(r, \mu)$ .由于解薛定格方程得到的零点波函数 $\psi_{nl}(0, \mu)$ 不太准确,同时也为了探索J/ $\psi$ 的轻子衰变宽度与夸克-反夸克结合位势形状的关系,零点波函数 $\psi_{nl}(0, \mu)$ 与夸克-反夸克位势的关系可以表示为<sup>[4,5]</sup>:

$$|\psi_{nl}(0, \mu)|^2 = \frac{m_e}{4\pi} \langle \psi_{nl}(r, \mu) \left| \frac{dV(r, \mu)}{dr} \right| \psi_{nl}(r, \mu) \rangle \quad (4)$$

这里 $\frac{dV(r, \mu)}{dr}$ 是夸克-反夸克结合势的微商, $m_e$ 是夸克-反夸克系统的约化质量.用erf位

势(1)和 KMS 位势(2)解薛定格方程得到  $\psi_{nl}(r, \mu)$ , 计算(4)式和(3)式就得到 J / ψ 衰变成  $e^+ e^-$  的衰变宽度, 结果在图 3 和 4 中给出, 实验点取自文献 [6]. 由于实验点是在零温测量的, 而在 erf 势中, 在  $T = 0, \rho = 0$  时  $\mu_0 = 0.1 \text{ GeV}$ , 而在 KMS 势中,  $\mu_0 = 0$ . 所以在图 3 和 4 中的零温位置是不同的.

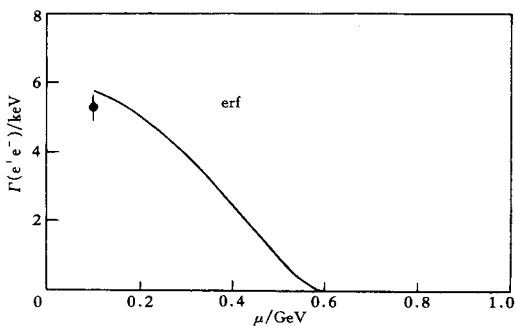


图3 erf 势给出的 J / ψ 的轻子衰变宽度  $\Gamma$  随  $\mu$  的变化

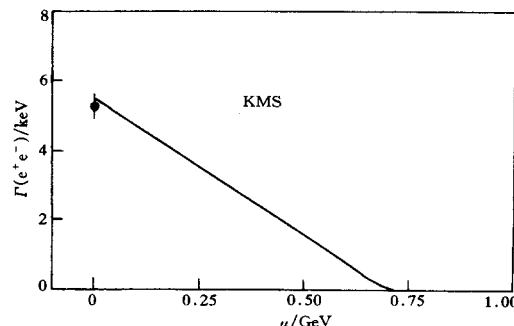


图4 KMS 势给出的 J / ψ 的轻子衰变宽度  $\Gamma$  随  $\mu$  的变化

从图 3 和 4 看到, J / ψ 的轻子衰变宽度  $\Gamma$  随  $\mu$  的增大而减小, 当到达 J / ψ 分解时即达到  $\mu = \mu_c$  时(对于 erf 势模型:  $\mu_c = 0.6 \text{ GeV}$ , 对于 KMS 势模型:  $\mu_c = 0.7 \text{ GeV}$ ),  $\Gamma$  变成零.

作者<sup>[7]</sup>用热场动力学方法, 引入重子密度, 计算胶子的单圈图, 得到电屏蔽质量与温度  $T$  和重子密度  $\rho$  的关系可以写为:

$$\mu = \mu_T + \mu_0, \quad (5)$$

其中

$$\mu_T = g \left( \frac{1}{3} NT^2 + \frac{1}{\pi^2} N_f T_D \right)^{1/2}, \quad (6)$$

这里

$$T_D = \int_0^\infty \frac{k^2 dk}{\sqrt{k^2 + m_q^2}} [n_F(k) + \bar{n}_F(k)], \quad (7)$$

在(6)式中的  $N_f$  是夸克的味道数, 在(7)式中的  $n_F(k)$  和  $\bar{n}_F(k)$  分别表示费米子和反费米子的分布函数, 它们可以表示为:

$$n_F(k) = \frac{1}{\exp[(\sqrt{k^2 + m_q^2} - \nu) / T] + 1}, \quad (8)$$

和

$$\bar{n}_F(k) = \frac{1}{\exp[(\sqrt{k^2 + m_q^2} + \nu) / T] + 1}. \quad (9)$$

在公式(8)和(9)中的夸克的化学势  $\nu$  由重子密度  $\rho$  决定:

$$\rho = \frac{\gamma}{3} \int \frac{d^3 k}{(2\pi)^3} [n_F(k) - \bar{n}_F(k)], \quad (10)$$

这里  $\gamma = \text{味道} \times \text{自旋} \times \text{颜色}$ , 称为简并因子。在零温极限下,  $n_F(k) = \theta(k_F - k)$ ,  $\bar{n}_F(k) = 0$ , 则方程(6)变成:

$$\mu_T = \left( \frac{g^2}{\pi^2} N_f \int_0^{k_F} \frac{k^2 dk}{\sqrt{k^2 + m_q^2}} \right)^{1/2}, \quad (11)$$

$$\text{这里 } k_F = \left( \frac{18\pi^2}{\gamma} \rho \right)^{1/3}.$$

为了研究  $J/\psi$  在热密环境中的行为, 用公式(3)和(5)可以计算  $J/\psi$  的轻子衰变宽度  $\Gamma$  随温度  $T$  和密度  $\rho$  的变化关系。在计算中, 取夸克质量  $m_q = 10\text{MeV}$ , 核物质密度取为  $\rho_0 = 0.17\text{fm}^{-3}$ 。用 erf 势和 KMS 势分别计算  $J/\psi$  的轻子衰变宽度  $\Gamma$  随温度  $T$  和密度  $\rho$  的变化, 结果给在图 5 和 6 中。从图 5 和 6 看到, 在零温和零密度时, KMS 势给出的结果接近实验

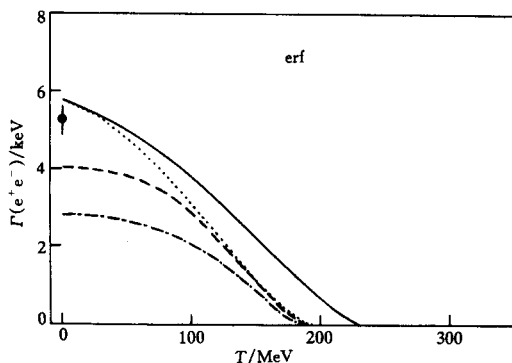


图 5 erf 势给出的  $J/\psi$  的轻子衰变宽度  $\Gamma$  对于不同的重子密度  $\rho$  随温度  $T$  的变化关系

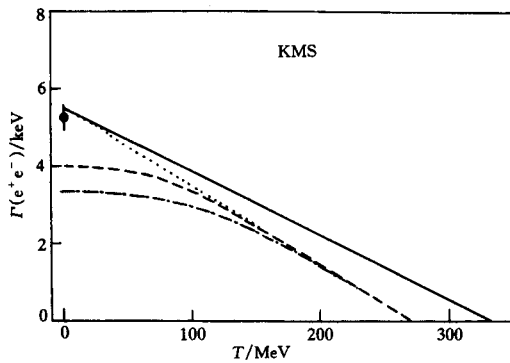


图 6 KMS 势给出的  $J/\psi$  的轻子衰变宽度  $\Gamma$  对于不同的重子密度  $\rho$  随温度  $T$  的变化关系

——	$N_f = 0$ ;
·····	$N_f = 3, \rho = 0$ ;
- - -	$N_f = 3, \rho = \rho_0$ ;
- · - - -	$N_f = 3, \rho = 3\rho_0$ .

——	$N_f = 0$ ;
·····	$N_f = 3, \rho = 0$ ;
- - -	$N_f = 3, \rho = \rho_0$ ;
- · - - -	$N_f = 3, \rho = 3\rho_0$ .

值;但对于不同的重子密度,  $\Gamma$  随温度  $T$  的增大而减小;而 erf 势给出的  $\Gamma$  随温度  $T$  的变化要比 KMS 势给出的快, 特别是在低温区;在高温区, 对于不同的重子密度, erf 势给出的  $\Gamma$  随温度  $T$  的增大虽然变化不如在低温区显著, 但仍然有差别, 而 KMS 势给出的  $\Gamma$  对重子密度不敏感, 对于不同的重子密度  $\Gamma$  趋于一致, 这表明在高温区, 在(6)式中, 对  $\mu_T$  的贡献主要来自于第一项, 这与以前的研究一致<sup>[7]</sup>。当  $T = 0$ ,  $\rho = 3\rho_0$  时, erf 势给出的  $\Gamma$  是  $\rho = 0$  的 2 倍, KMS 势所给出  $\Gamma$  约为 1.6 倍。当在热密物质中看不到  $J/\psi$  的轻子衰变时, erf 势给出的临界温度约为  $200\text{MeV}$ , 而 KMS 势给出的临界温度大约在  $270\text{MeV}$ 。

结果表明, erf 势和 KMS 势给出的在有限温度和有限密度物质中的  $J/\psi$  的轻子衰变宽度是明显的不同, 这说明,  $J/\psi$  的轻子衰变宽度  $\Gamma(J/\psi \rightarrow e^+e^-)$  依赖于与温度有关的夸克-反夸克相互作用势的形式。但这两种形式的位势都表明, 当温度升高时, 对于不同的重子密度,  $J/\psi$  的轻子衰变宽度都减小。因此, 测量  $J/\psi$  的轻子衰变宽度可以得到介质温度的信息。用 erf 势计算在热密物质中的  $J/\psi$  的轻子衰变宽度, 得到的临界温度约在

200 MeV, 这是合理的, 这与格点规范的结果是一致的<sup>[8]</sup>, 而 KMS 势给出的临界温度偏高. 本文所得到的结果需要在相对论重离子碰撞实验中来检验.

### 参 考 文 献

- [1] Liu Bo, Shen Peng Nian, Chiang Huan Ching. Phys. Rev., 1997, C55(6):3021—3025
- [2] Liu Bo, Shen Peng Nian, Chiang Huan Ching. Science in China, 1998, 28(4):349—355
- [3] Karsch F, Mehr M T, Satz H. Z. Phys., 1988, C37:617—622
- [4] Martin A. Phys. Lett., 1986, B70(2):192—194
- [5] Jacobs S, Olsson M G, Suchyta III C. Phys. Rev., 1986, D33(11):3338—3348
- [6] Particle Data Group. Phys. Rev., 1967, D45:531
- [7] Gao Song, Liu Bo, Chao Wei Qin. Phys. Lett., 1996, B378:23—28
- [8] Ukawa A. Nucl. Phys., 1989, A498:227c—248c

## Leptonic Decay of $J/\psi$ at Finite Temperature and Densities \*

Liu Bo<sup>1)</sup>      Shen Pengnian<sup>1)</sup>      Jiang Huanqing<sup>1)</sup>

(Institute of High Energy Physics, The Chinese Academy of Sciences, Beijing 100039)

Chen Hong

(Department of Physics, Southwest China Normal University, Chongqing 630715)

**Abstract** The relation between the leptonic decay width of  $J/\psi$  and the color screening mass at finite temperature is studied by using different quark binding potentials. The leptonic decay behaviour of  $J/\psi$  in the hot and dense matter is obtained.

**Key words** leptonic decay, screening mass, wave function at the origin, thermofield dynamics

---

Received 14 May 1998

\* Supported by the National Natural Science Foundation of China

1) The Visiting Researcher for Institute of Theoretical Physics, Beijing 100080